



EXUDADO



INFECCIÓN



BIOFILM

El cuidado de las heridas  
siempre ha tenido sus villanos

Ahora tiene un héroe.

**AQUACEL™ Ag+**  
Apósitos

*Ningún apósito hace más.<sup>†</sup>*

# Ningún apósito hace más.<sup>†</sup>

---

3

Tres villanos de la cicatrización de las heridas: exudado, infección y biofilm.



2

Dos poderosas tecnologías.

## NUEVA Tecnología Ag+

Tecnología revolucionaria que destruye el biofilm y elimina la infección causada por bacterias.\*<sup>1-3</sup>



## Tecnología Hydrofiber™

Tecnología probada que absorbe y retiene el exceso de exudado para ayudar a crear un ambiente de cicatrización ideal.\*<sup>4-8</sup>



1

Un héroe de la cicatrización de las heridas.

**AQUACEL**<sup>TM</sup> *Apósitos* The AQUACEL Ag+ logo features the brand name "AQUACEL" in blue with a trademark symbol, followed by "Ag+" in white inside a green circle, and "Apósitos" in grey below it.

Actualmente disponible en los apósitos AQUACEL™ Ag+ Extra™ y AQUACEL™ Ag+ cinta.

\*Como se ha demostrado *in vitro*

†Capacidad de gestión del exceso de exudado, infección y biofilm.

# El biofilm retrasa la cicatrización de las heridas.

## El biofilm es habitual.

El biofilm se forma cuando colonias de bacterias secretan una capa de limo para protegerse.<sup>9</sup>

El biofilm se encuentra en aproximadamente el 80% de las infecciones sanitarias.<sup>10</sup> La placa dental, infecciones de tracto urinario e infecciones oculares están ligadas al biofilm.<sup>11-13</sup>

Aunque no siempre se pueda ver, **la mayoría de heridas crónicas contienen biofilm<sup>14</sup>** - y es una causa clave en el retraso de la cicatrización de las heridas<sup>15</sup>, y un precursor de la infección.<sup>16</sup>

## El biofilm es persistente.

Es difícil eliminar el biofilm por completo<sup>17</sup> - aún con desbridamiento - y se vuelve a formar rápidamente.<sup>18</sup>

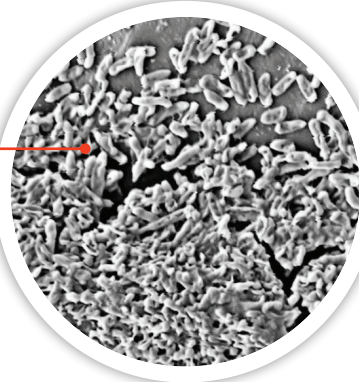
El biofilm tolera:

- Antimicrobianos como el PHMB<sup>\*\*19</sup>, la miel<sup>20</sup>, el yodo<sup>21,22</sup> y la plata<sup>23</sup>
- Antibióticos<sup>24</sup>
- Intentos por parte del cuerpo de limpiar el lecho de la herida<sup>25</sup> y de cicatrizarla<sup>19</sup>



Sospecha de biofilm

Visión microscópica del biofilm



\*\* polihexametileno biguanida

Todas las fotografías han sido utilizadas con el permiso de sus respectivos dueños.



BIOFILM

# Dos poderosas tecnologías trabajando juntas para superar los principales obstáculos en la cicatrización



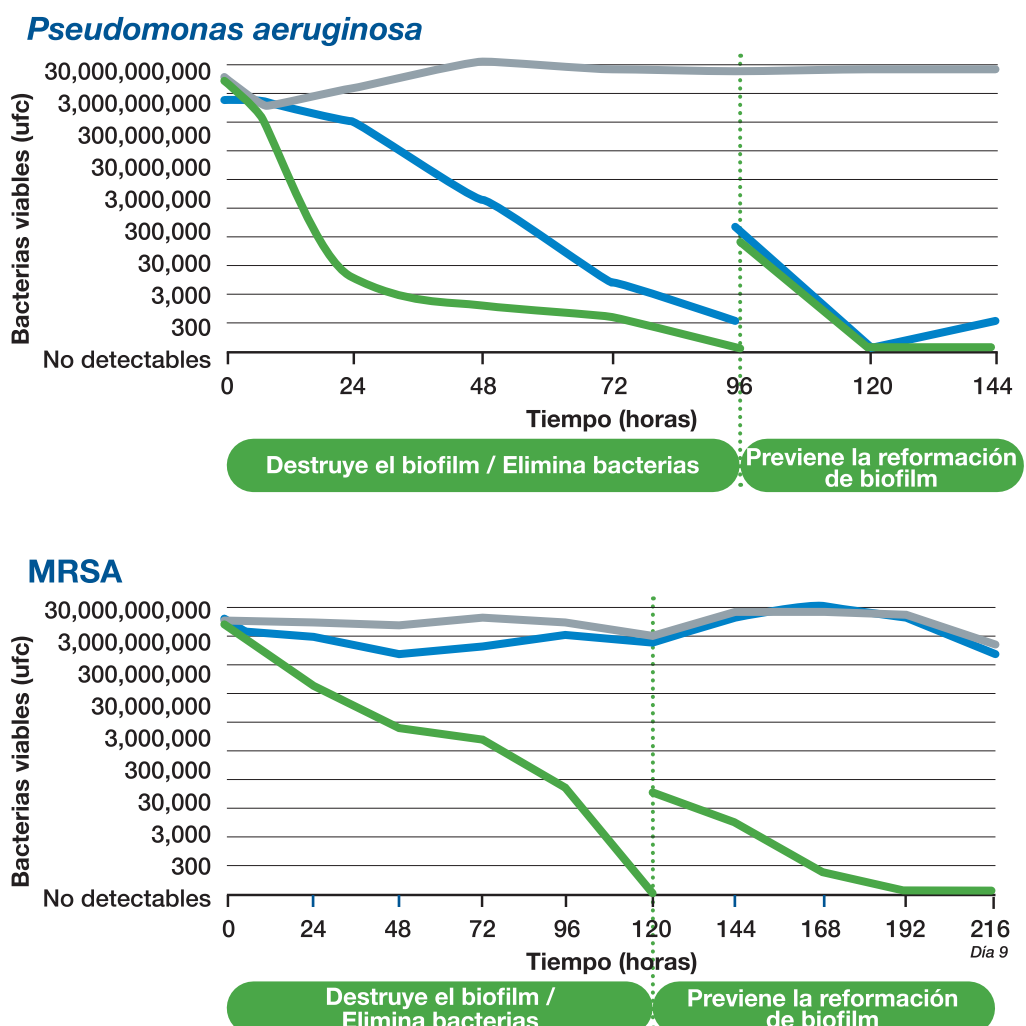
La Tecnología Ag+ es una formulación anti-biofilm única con iones de plata que<sup>26</sup>:

- **ROMPE** y acaba con el limo del biofilm exponiendo a las bacterias\*<sup>1-3</sup>
- **ELIMINA** un amplio espectro de bacterias, incluyendo bacterias multiresistentes, gracias a su reservorio de plata<sup>\*2,3,27</sup>
- **PREVIENE** la reformación de biofilm<sup>\*2,3</sup>

## Probado en el laboratorio

En un modelo *in vitro* de biofilm, el apósito AQUACEL™ Ag+ Extra demostró una mayor capacidad de **destruir biofilm y prevenir la reformación**.<sup>28-30</sup>

■ AQUACEL™ Ag+ Extra (n=5)  
■ AQUACEL™ Ag Extra (n=5)  
■ Apósito con plata nanocrystalina (n=5)  
..... Reinoculación



En este modelo *in vitro*, se hizo crecer un biofilm en un sustrato de gasa confirmándolo bajo microscopio. El sustrato de gasa-biofilm se transfirió a una placa de agar para crear un modelo simulado de herida con biofilm. Los apósitos se aplicaron en la superficie del biofilm, se hidrataron y se cubrieron con un apósito secundario adecuado. Posteriormente se incubaron, y se midió el efecto bactericida del apósito en diferentes momentos hasta un máximo de 120 horas. También se midió la reaparición del biofilm inoculando nuevas bacterias en el sustrato de gasa, y buscando la presencia o ausencia de biofilm en las siguientes 96 horas.

\*Tal y como se ha demostrado *in vitro*

# do sinérgicamente para manejar trización de heridas.

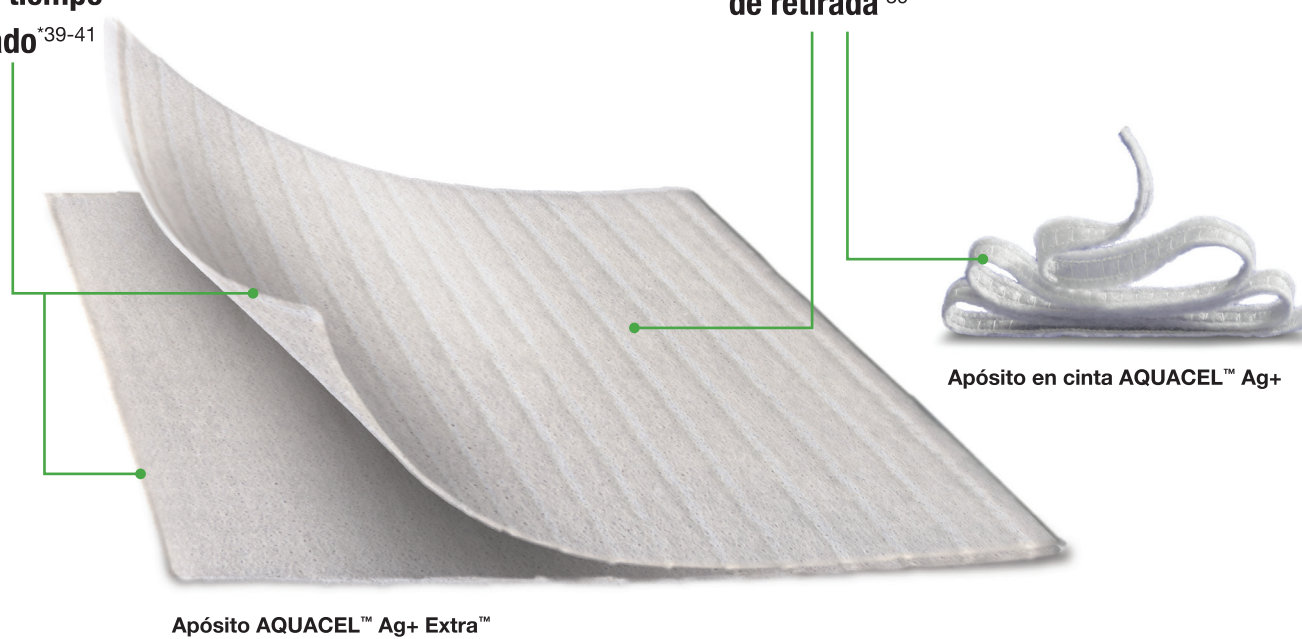
**La Tecnología Hydrofiber<sup>TM</sup>** ayuda a crear un ambiente ideal para la cicatrización y para que la Tecnología Ag+ pueda realizar su función.



- **RETIENE** el exudado de la herida, las bacterias y el biofilm para ayudar a minimizar la infección cruzada y prevenir la maceración\*<sup>4-7,31,32</sup>
- **SE MICRO-ADAPTA** al lecho de la herida, manteniendo un balance húmedo óptimo y eliminando los espacios muertos donde las bacterias pueden proliferar\*<sup>33-35</sup>
- **RESPONDE** a las condiciones de la herida formando un gel cohesivo, mientras ayuda a minimizar el dolor asociado a los cambios de apósito\*<sup>36-38</sup>

Mayor capacidad  
de absorción  
implica  
**mayor tiempo  
aplicado**\*<sup>39-41</sup>

Mayor resistencia  
implica mayor **facilidad  
de retirada**\*<sup>39</sup>



\*Comparado con el apósito AQUACEL™ Ag estándar

**AQUACEL™ Ag+ Apósitos**



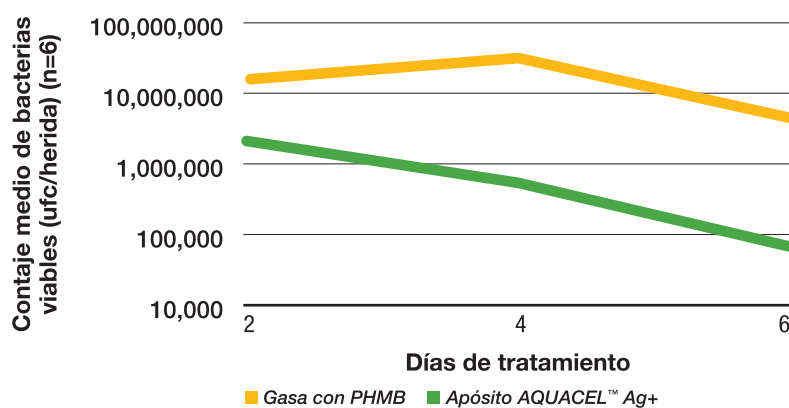
## Probado en heridas científicamente controladas

En un modelo *in vivo* adaptado de biofilm<sup>19</sup>, la **Tecnología Ag+** en combinación con la **Tecnología Hydrofiber™** demostró\*:

- ▶ Una reducción del biofilm significativamente mayor que la gasa con PHMB.<sup>41</sup>

**95%**

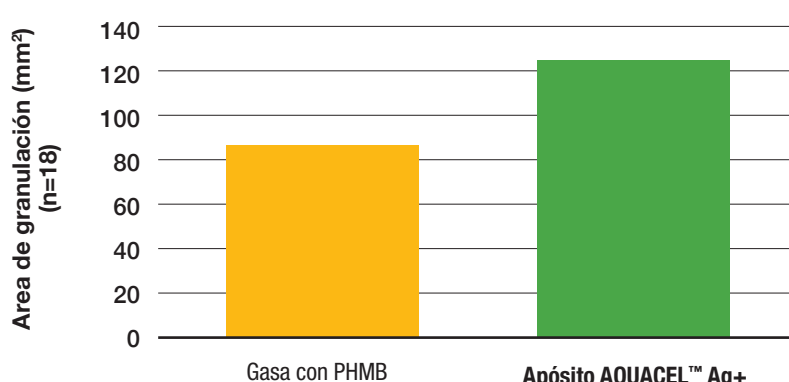
**Mayor reducción  
al sexto día ( $p<0,05$ )**



- ▶ Un ratio de epitelización y granulación significativamente mayor que con una gasa PHMB.<sup>41</sup>

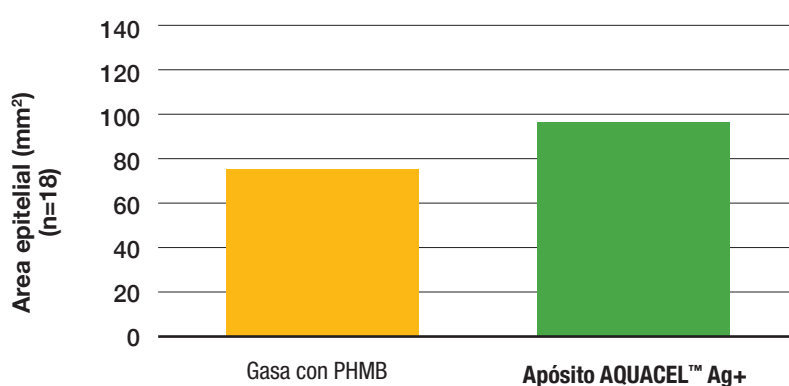
**48%**

**más tejido de granulación  
al sexto día ( $p<0,05$ )**



**24%**

**más tejido de epitelización  
al sexto día ( $p<0,05$ )**



\* Para este estudio se utilizó el apósito AQUACEL™ Ag+.

# de héroes de la cicatrización de heridas.

## Cicatrización de las heridas demostrada en la práctica clínica<sup>42</sup>

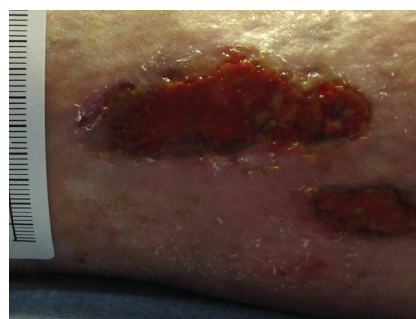
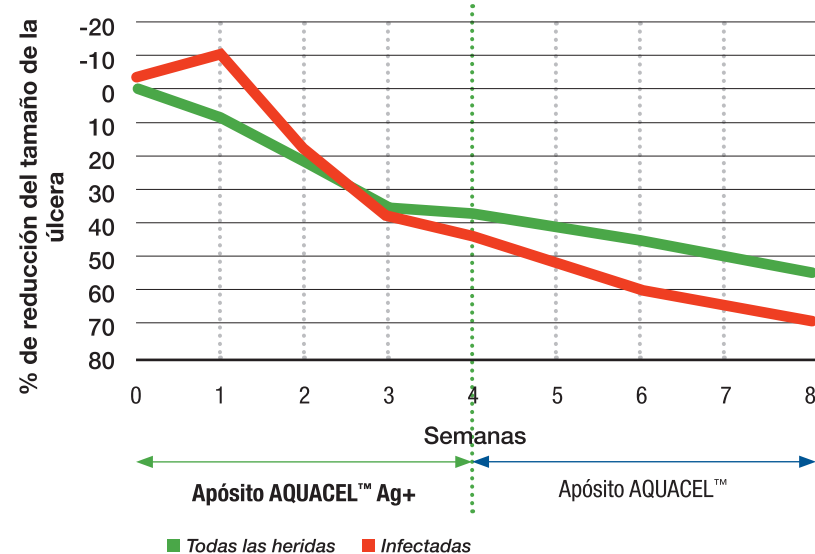
En un estudio prospectivo, multicéntrico, y no comparativo realizado en 42 pacientes con úlcera vascular crónica venosa con heridas infectadas o con riesgo de infección en las que la existencia de biofilm fue muy probable, la Tecnología Ag+ en combinación con la Tecnología Hydrofiber™ demostró:

**70%**

reducción del área en el grupo de heridas infectadas

**54%**

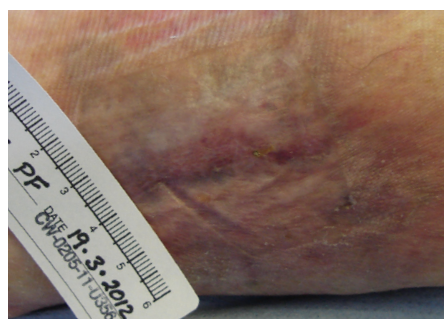
reducción del área en el grupo de **todas** las heridas



Día 1



Día 28



Día 49 - cicatrizada



Día 1



Día 15



Día 56 - cicatrizada

<sup>42</sup>10 heridas infectadas y 32 con riesgo de infección  
\*Para este estudio se utilizó el apósito AQUACEL™ Ag+

Todas las fotografías han sido utilizadas con el permiso de sus respectivos dueños

# Apósitos AQUACEL™ Ag+ Ningún apósito hace más.

Añada los apósitos AQUACEL™ Ag+ a su protocolo de cuidados para heridas crónicas y agudas que estén **infectadas o con riesgo de infección**.



Compañeros perfectos: **AQUACEL® Ag+ Apósitos** y **AQUACEL® Foam**

Tamaño del apósito	Apósitos por caja	Código de producto	Tamaño del apósito	Apósitos por caja	Código de producto
<b>AQUACEL™ Ag+ Extra</b>					
5 cm x 5 cm	10	413566	<b>AQUACEL™ Foam Adhesivo</b>	10	420680
10 cm x 10 cm	10	413567	12,5 cm x 12,5 cm	10	420619
15 cm x 15 cm	5	413568	17,5 cm x 17,5 cm	10	420621
20 cm x 30 cm	5	413569	21 cm x 21 cm	5	420623
<b>AQUACEL™ Ag+ Cinta</b>					
2 cm x 45 cm	5	413571	Sacro	5	420625
<b>AQUACEL™ Ag+ Extra REEMBOLSADO</b>			Talón	5	420626
5 cm x 6 cm	3	496042	<b>AQUACEL™ Foam No Adhesivo</b>		
10 cm x 13 cm	3	496059	10 cm x 10 cm	10	420633
15 cm x 14,5 cm	3	496067	15 cm x 15 cm	5	420635
<b>AQUACEL™ Ag+ Cinta REEMBOLSADO</b>			20 cm x 20 cm	5	420636
2,5 cm x 45 cm	3	496075	<b>AQUACEL™ Foam REEMBOLSADO</b>		
			12,5 cm x 12,5 cm	3	493064

- Physical Disruption of Biofilm by AQUACEL® Ag+ Wound Dressing. Scientific Background Report. WHRI3850 MA232, 2013. Data on file, ConvaTec Inc.
- Antimicrobial activity and prevention of biofilm reformation by AQUACEL™ Ag+ EXTRA dressing. Scientific Background Report. WHRI3857 MA236, 2013. Data on file, ConvaTec Inc.
- Antimicrobial activity against CA-MRSA and prevention of biofilm reformation by AQUACEL™ Ag+ EXTRA dressing. Scientific Background Report. WHRI3875 MA239, 2013. Data on file, ConvaTec Inc.
- Newman GR, Walker M, Hobot JA, Newman GR, Bowler PG, 2003. Scanning electron microscopic examination of bacterial sequestration and bacterial activity within hydrating Hydrofiber™ wound dressings. *Biomaterials*; 27: 1129-1133.
- Walker M, Hobot JA, Newman GR, Bowler PG, 2003. Visualisation of bacterial sequestration and bacterial activity within a carboxymethyl cellulose (AQUACEL™) alginate dressing. *Biomaterials*; 24: 883-890.
- Bowler PG, Jones SA, Davies BJ, Coyle E, 1999. Infection control properties of some wound dressings. *J Wound Care*; 8: 499-502.
- Walker M, Bowler PG, Cochrane CA, 2007. In vitro studies to show sequestration of matrix metalloproteinases by silver-containing wound care products. *Ostomy/Wound Management*; 2007;53: 18-25.
- Assessment of the *in vitro* Physical Properties of AQUACEL EXTRA, AQUACEL Ag EXTRA and AQUACEL Ag+ EXTRA dressings. Scientific background report. WHRI3817 TA297, 2013. Data on file, ConvaTec Inc.
- Bjarnsholt T, 2013. The role of bacterial biofilms in chronic infections. *APMIS*, 121, 1-51.
- Research on microbial biofilms. National Institute of Dental and Craniofacial Research. <http://grants.nih.gov/grants/guide/policyfiles/PA-03-047.html>; Sept 9, 1997.
- Mann PD, Bradshaw DJ, 1995. Dental plaque as a biofilm. *J Indust Microbiol*; 15: 169-175.
- Treutter BW, Darouiche RO, 2004. Role of biofilm in catheter-associated urinary tract infection. *Am J Infect Control*; 32: 177-183.
- Elder MJ, Stapleton F, Evans E, Dart JK, 1995. Biofilm-related infections in Ophthalmology. *Eye (Lond)*; 9: 102-109.
- James GA, Swogger E, Wolcott R, Pulcini EL, Secor P, Sestrich J, et al, 2008. Biofilms in Chronic Wounds. *Wound Rep Regen*; 16: 37-44.
- Metcalf D, Bowler P, 2013. Biofilm delays wound healing: A review of the evidence. *Burns & Trauma*; 1: 5-12.
- Percival SL, Bowler PG, 2004. Biofilms and their potential role in wound healing. *WOUNDS*; 16: 234-240.
- Wolcott RD, Kennedy JP, Dowd SE, 2009. Regular debridement is the main tool for maintaining a healthy wound bed in most chronic. *J Wound Care*; 18: 54-56.
- Gurjala AN, Geringer MR, Seth AK, Hong SJ, Smeltzer MS, Galiano RA, et al, 2011. Development of a novel, highly quantitative *in vivo* model for the study of biofilm-impaired cutaneous wound healing. *Wound Rep Reg*; 19: 400-410.
- Brackman G, De Meyer L, Nelis HJ, Coenye T, 2013. Biofilm inhibition and eradicating activity of wound care products against *Staphylococcus aureus* and *Staphylococcus epidermidis* biofilms in an *in vitro* chronic wound model. *J Appl Microbiol*; 114: 1833-42.
- Darouiche RO, Mansouri MD, Gawande PV, Madhyastha S. Antimicrobial and antibiofilm efficacy of triclosan and DispersinB combination. *J Antimicrob Chemother*. 2009 Dec 1;64(1):88-93.
- Thorn RM, Greenman J. A novel *in vitro* flat-bed perfusion biofilm model for determining the potential antimicrobial efficacy of topical wound treatments. *J Appl Microbiol*. 2009 Dec 1;107(6):2070-9.
- Bjarnsholt B, Kirketerp-Møller K, Kristiansen S, Phipps R, Nielsen AK, Jensen PO, et al, 2007. Silver against *Pseudomonas aeruginosa* biofilms. *APMIS* 115: 921-8.
- Stewart PS, Costerton JW, 2001. Antibiotic resistance of bacteria in biofilms. *Lancet*; 358: 135-138.
- Thurlow LR, Hanke ML, Fritz T, Angie A, Aldrich A, Williams SH, Engbergsetsen IL, et al, 2011. *Staphylococcus aureus* biofilms prevent macrophage phago-cytosis and attenuate inflammation *in vivo*. *J Immunol*; 186: 6585-96.
- Composition comprising antimicrobial metal ions and a quaternary cationic surfactant. Scientific Background Report. WO 2012136968 A1, 2012. Data on file, ConvaTec Inc.
- Bowler PG, Welsby S, Towers V, Booth V, Hogarth A, Rowlands V, Joseph A, et al, 2012. Multidrug-resistant organisms, wounds and topical antimicrobial protection. *Int J Wound J*; 9: 387-396.
- Antimicrobial activity against CA-MRSA and prevention of biofilm reformation by AQUACEL™ Ag+ EXTRA Dressing and Acticoat 7 Dressing. Scientific Background Report. WHRI3858 MA237, 2013. Data on file, ConvaTec Inc.
- Antimicrobial Activity and Prevention of Biofilm Reformation by AQUACEL® Ag EXTRA Dressing and Silvercel® Non Adherent Dressing. WHRI3877 MA241, 2013. Data on file, ConvaTec Inc.
- Walker M and Parsons D, 2010. Hydrofiber Technology: The role in exudate management. *Wounds UK*; 6: 31-38.
- Parsons D, Bowler PG, Myles V, Jones SA, 2005. Silver antimicrobial dressings in wound management: A comparison of antibacterial, physical and chemical characteristics. *WOUNDS*; 17: 222-232.
- Jones SA, Bowler PG, Walker M, 2005. Antimicrobial activity of silver-containing dressings is influenced by dressing conformability with a wound surface. *WOUNDS*; 17: 263-270.
- Bowler P, Jones S, Towers V, Booth R, Parsons D, Walker M, 2010. Dressing conformability and silver-containing wound dressings. *Wounds UK*; 6: 14-20.
- Walker M, Jones S, Parsons D, Booth R, Cochran C, Bowler P, 2011. Evaluation of low-adherent antimicrobial dressings. *Wounds UK*; 7: 32-45.
- Barnea Y, Amir A, Leshem D, Zaretsky A, Weiss J, Shafir R, et al, 2004. Clinical comparative study of Aquacel and paraffin gauze dressing for split-skin donor site treatment. *Ann Plast Surg*; 53: 132-136.
- Kogan L, Moldavsky M, Szvalb S, Govrin-Hedadim J, 2004. Comparative study of Aquacel and Silvercel treatment in burns. *Ann Burns Fire Disasters*; 29: 253-257.
- Assessment of the *in vitro* physical properties of AQUACEL Ag, AQUACEL Ag EXTRA and AQUACEL Ag+ Dressings. Scientific Background Report. WHRI3817 TA297, 2013. Data on file, ConvaTec Inc.
- Harding K, Ivans N, Cairns J, An opened randomized comparative study to evaluate the clinical and economic performance of two absorbent dressings in venous leg ulcers. Poster presented at EWMA; May 15-17 2013; Copenhagen, Denmark.
- Parsons D, Mustoe T, Seth A, A new anti-biofilm Hydrofiber™ dressing: an *in vivo* investigation. Poster presented at Wounds UK; Nov 11-13 2013; Harrogate, UK.
- Harding K, Ivans N, Cairns J, Peters K, Parsons D. A new anti-biofilm dressing - a clinical study. Poster presented at EWMA; May 15-17 2013; Copenhagen, Denmark.

[www.convatec.es](http://www.convatec.es)

Síguenos en

**InfoTec**  
**(900 30 40 50**  
infotec@convatec.com

**AQUACEL™ Ag+**  
Apósitos

AQUACEL, ConvaTec, el logo de ConvaTec, Hydrofiber y el logo de Hydrofiber son marcas de ConvaTec Inc.

©2014 ConvaTec Inc. AP-014778-ES AG+1408

**ConvaTec**